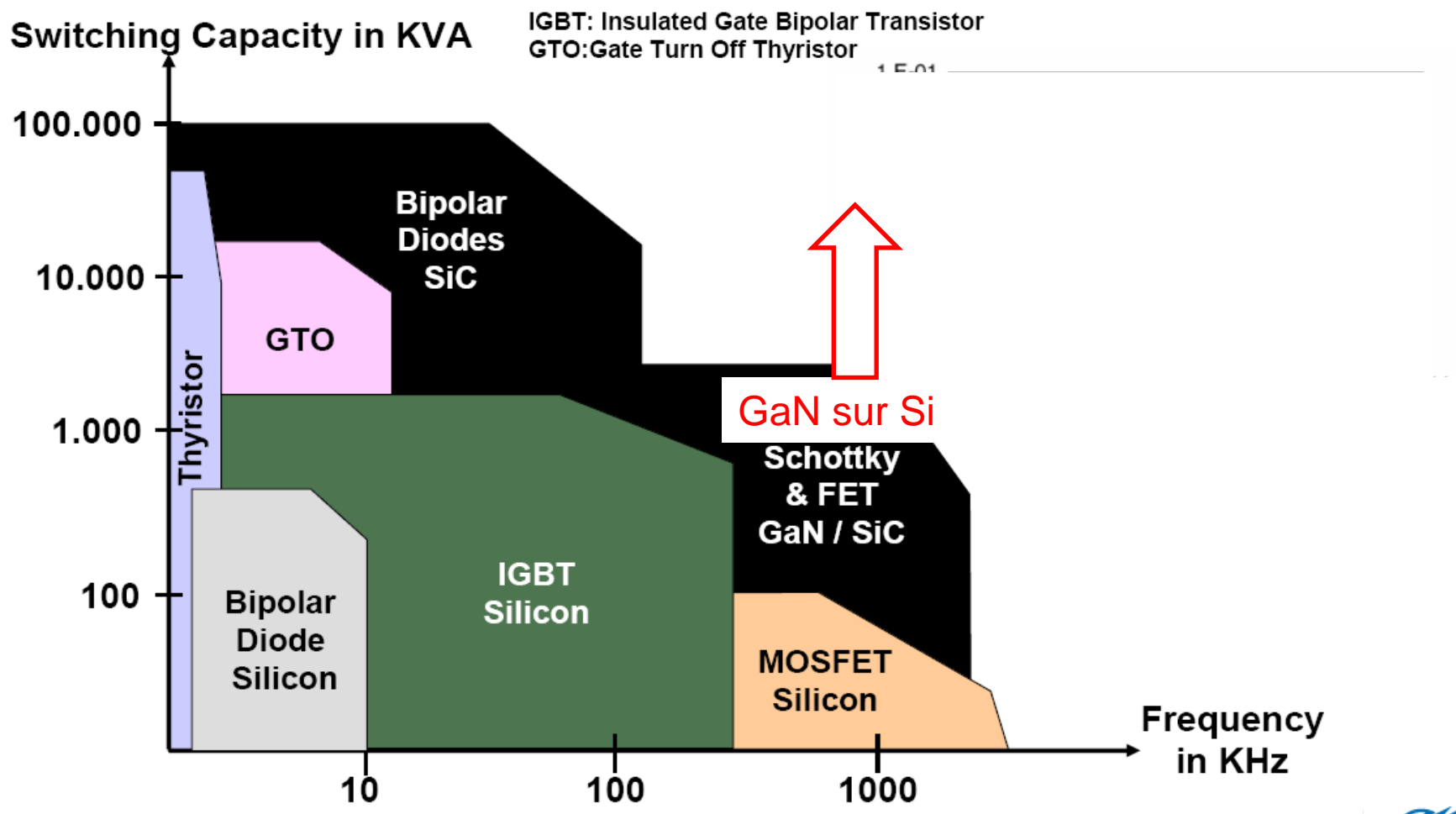


Matériaux architecturés, pour le packaging en électronique de puissance

Yves Bienvenu Centre des matériaux MinesParisTech

GaN sur Si et les autres transistors

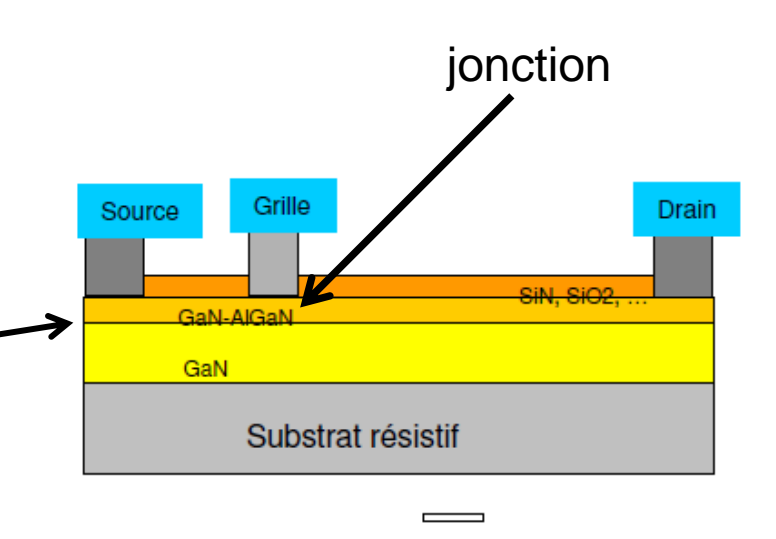




Caractéristiques de GaN

SiC et GaN / Si

- Bande interdite: 3,5 / 1 eV
- $Tj max = 250^{\circ}C / 180^{\circ}C$
- Champ de claquage x 10
- Mobilité des électrons (gaz 2D)
 - \rightarrow fréquence x 10, pertes/ > 3
- Croissance en épitaxie sur (111) Si: transposition du process de Si à GaN facilité
- Fonctionne en « normally ON »! Mais OFF est possible (plus cher!)
- Pilotage délicat V_g ε [5-6V]



Vers 10% du marché des transistors de puissance en 2020?

Plus de 20 acteurs, 6 producteurs dont Infineon/IR, Onsemi, GaN Systems, Transphorm, ExaGan (SOITEC/CEA), Dowa, Yasakawa,





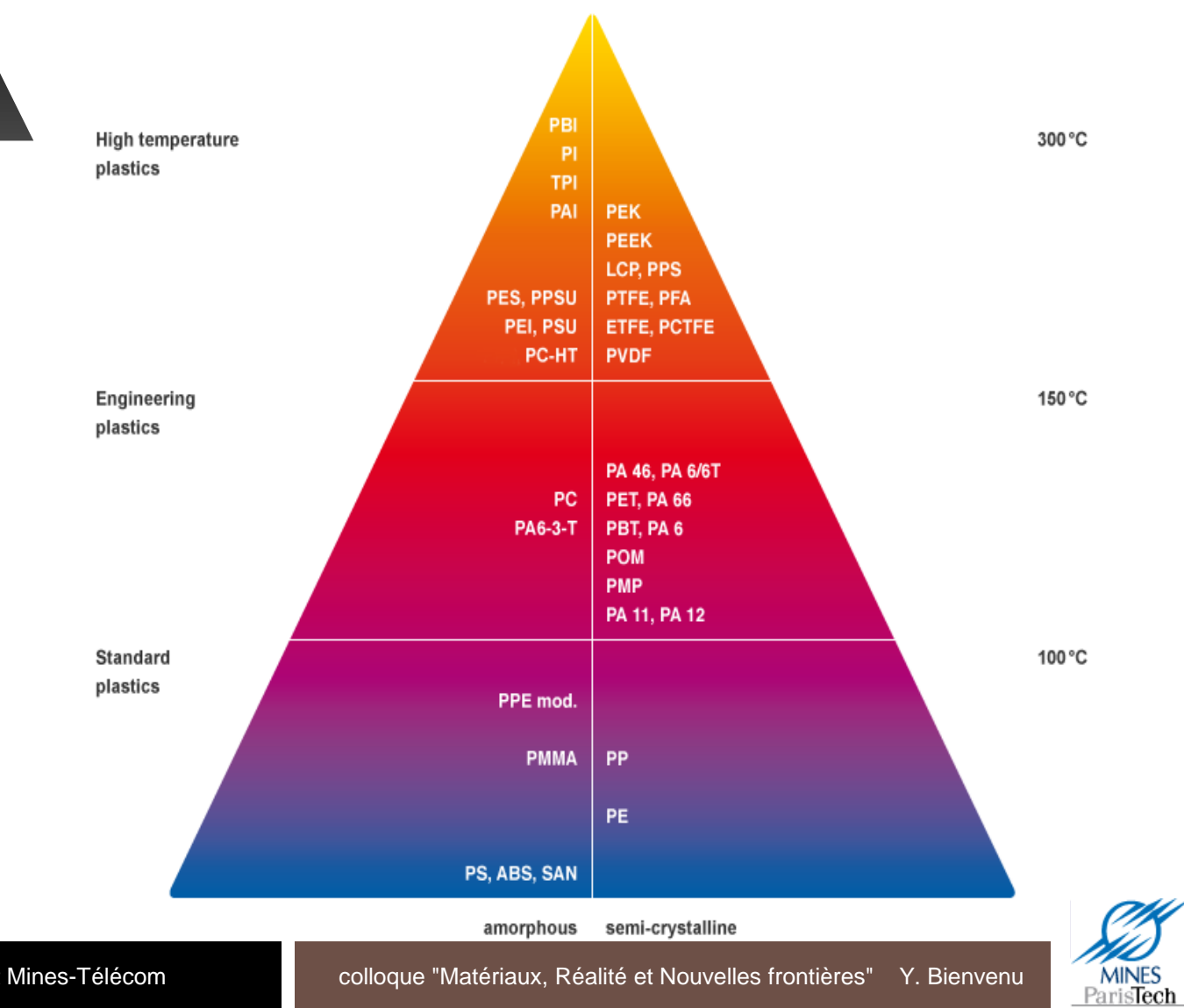
Packaging pour composants Electroniques de forte puissance

I.M.L. Technology – Insulated Molded Leadframe





Polymères pour le surmoulage



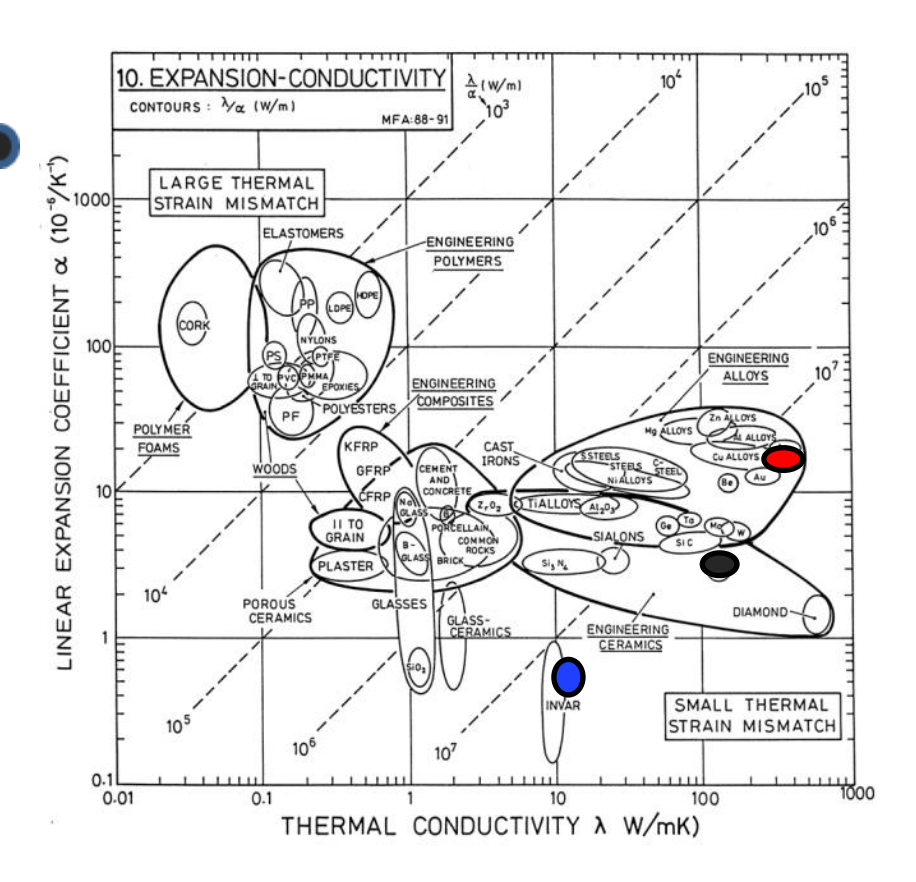
Compromis Conductivité / dilatation (Ashby & al)

Endommagement thermique du matériau de report des puces GaN (Si) sur substrat cuivre

Il faut « diminuer » le coefficient de dilatation du cuivre!

Intérêt de l'invar

et du diamant!





Substrats colaminés Cu/FeNi36/Cu à ponts thermiques (brevet Armines 2011)

Assemblage ≠ materiaux



Dilatation différentielle



Cisaillement dans la brasure



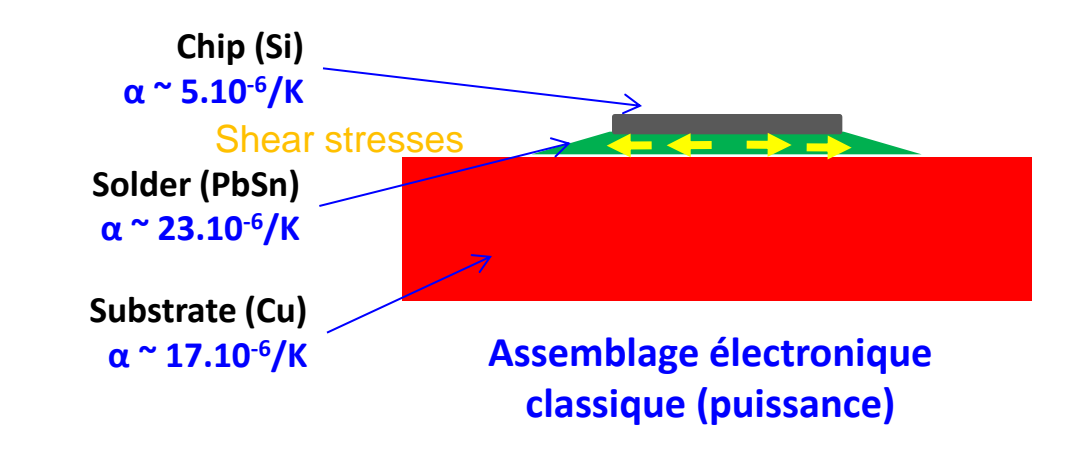
Endommagement

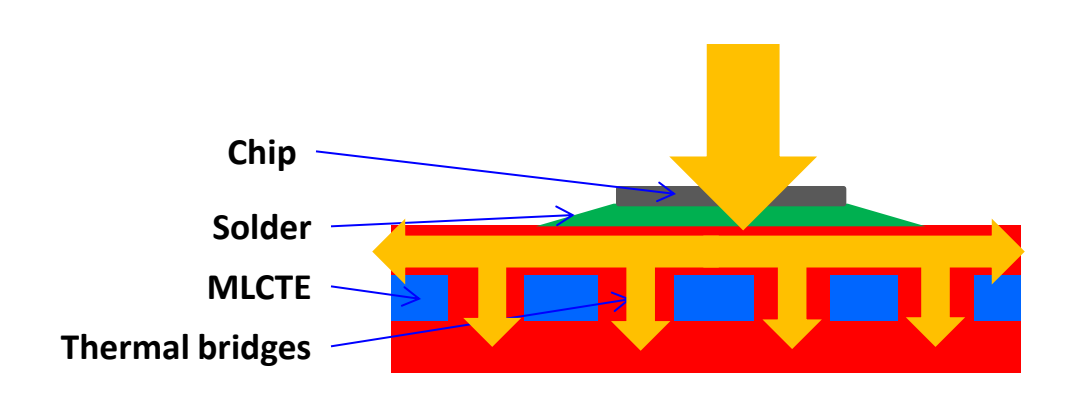


Nouveau substrat faible CTE et bone conductivité thermique

Substrat architecturé à ponts thermiques

Thèse A.Kaabi 2011





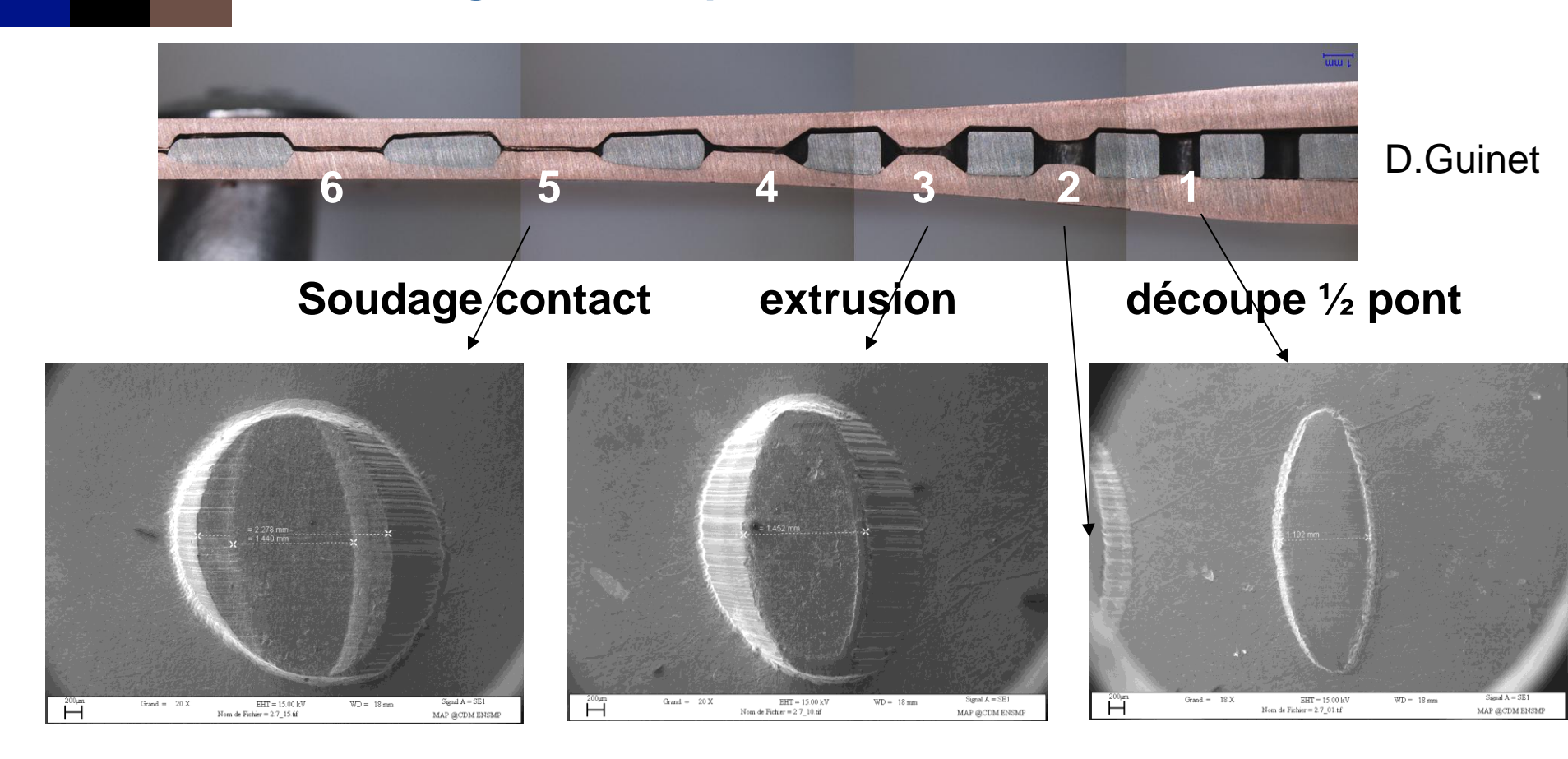
Assemblage électronique iTBC

MLCTE: material with low coefficient of thermal expansion



Etude du remplissage et du soudage

→ laminage interrompu



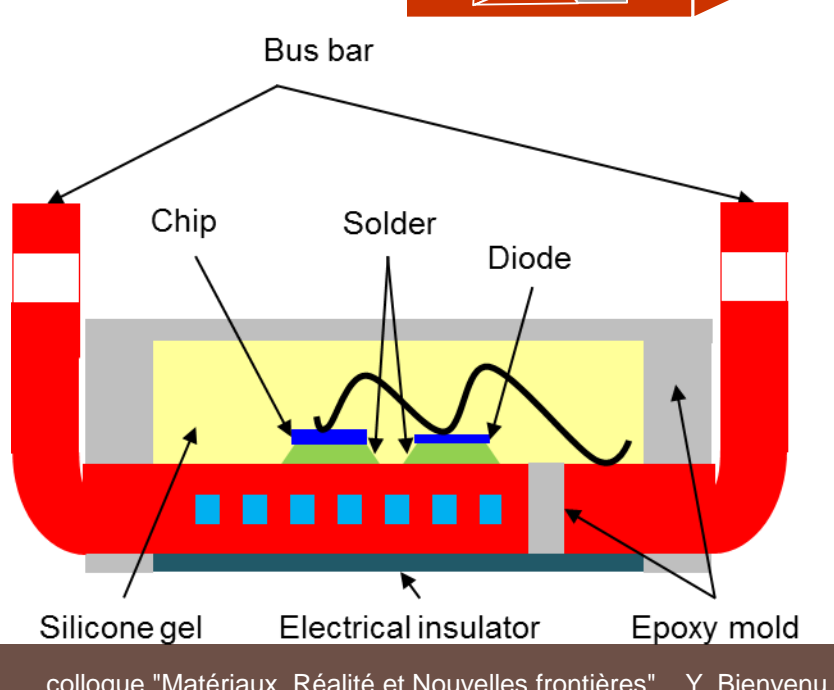
Remplissage:

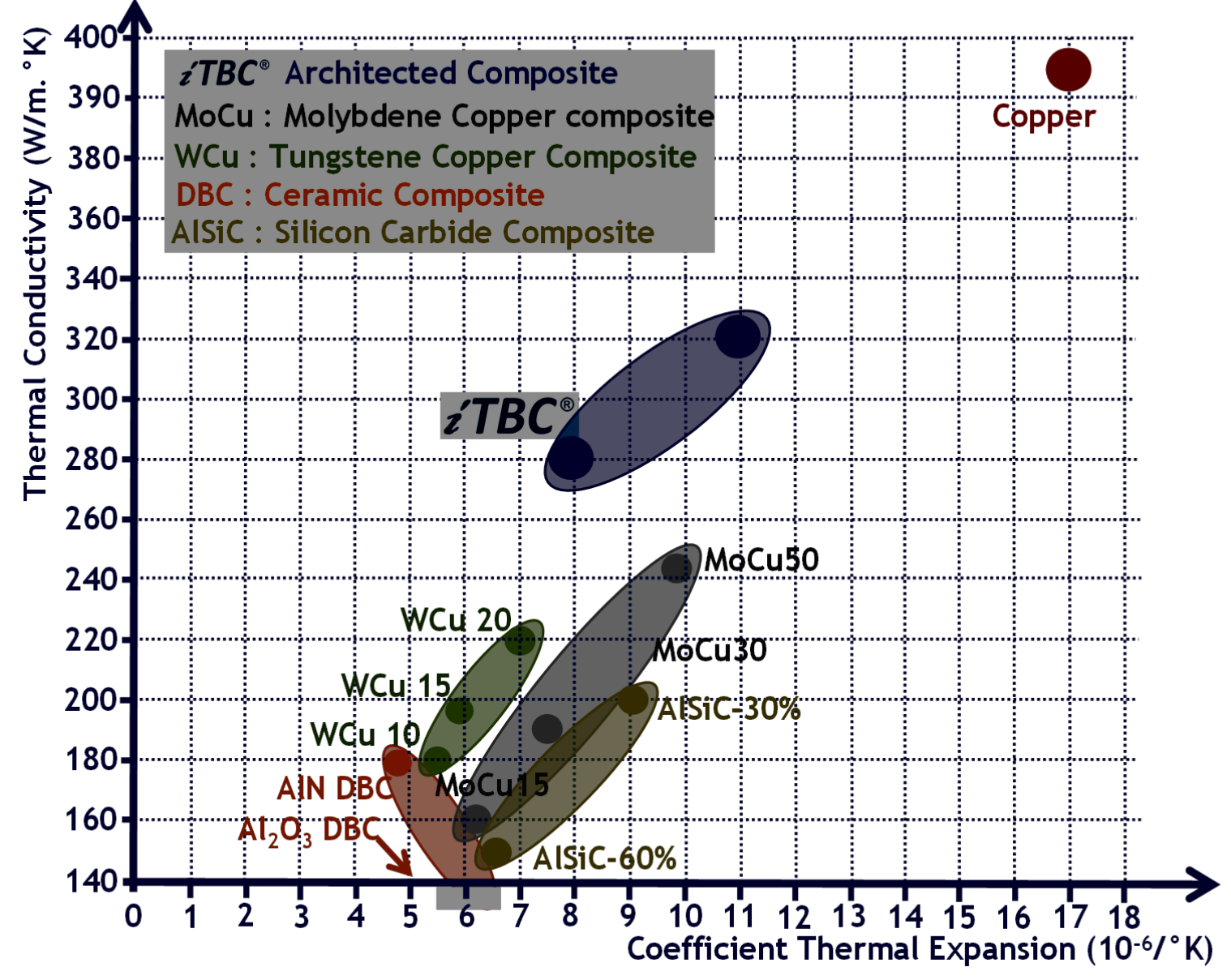
2/3 de découpe-extrusion du cuivre au dessus du perçage, 1/3 découlement plastique du cuivre du voisinage du perçage

Nouvelle Architecture « MeGaN »

Le renforcement par l'invar du cuivre est limitée à une bande centrale sous les « puces ».

Les ailes non renforcées facilitent le pliage et le recyclage, tout en diminuant les coûts matière

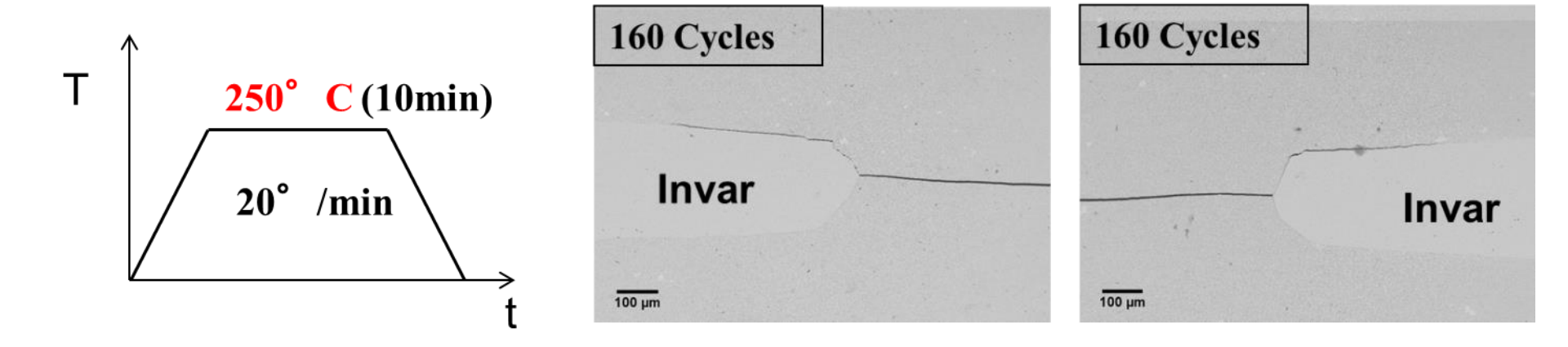






Institut Mines-Télécom

Test de fatigue thermique au laboratoire



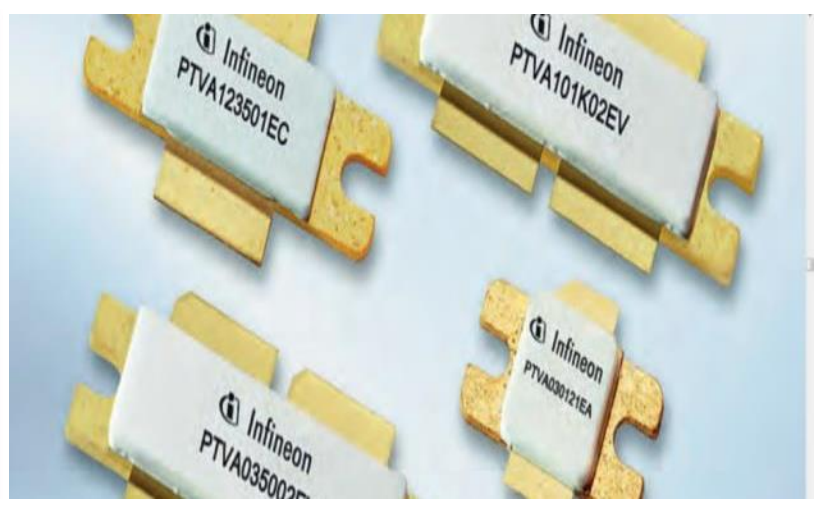
Optimisation architecture et procédé en cours (thèse Hiba Fekiri)



11

Autre architecture à pont thermiques: Solution Cu/MoCu/Cu de Plansee





Bande centrale: cofilage poudres Mo/Cu à chaud, puis colaminage Cu: ménage des « ponts thermiques »



Nanotubes de carbone et électronique de puissance

Fabrication:

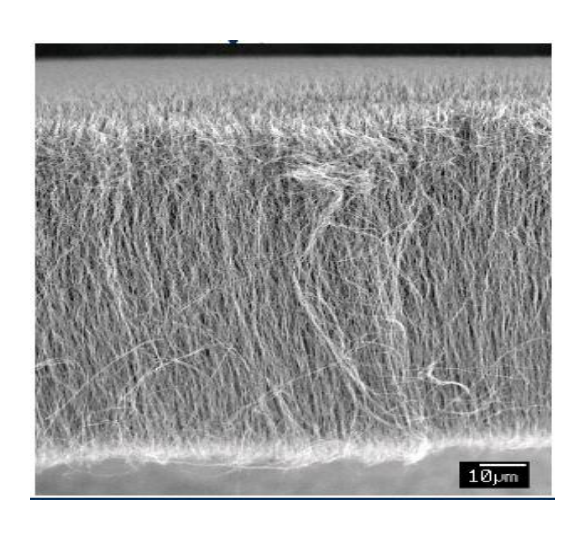
- Par condensation d'une vapeur de carbone (arc ou laser)
- Réactions en phase gazeuse,

Propriétés:

- conductivité thermique ~3000 W/mk (8x cuivre)
- Conductivité électrique
- Résistance mécanique ~200
 GPa (10 x fibre de carbone)
- Module élastique ~1 TPa (8 x cuivre)

Utilisation:

 Composite métallique ou adhésif composite



■ Cylindre de cellules hexagonales - diamètre 1-70nm, longueur : 1-500µm typiquement



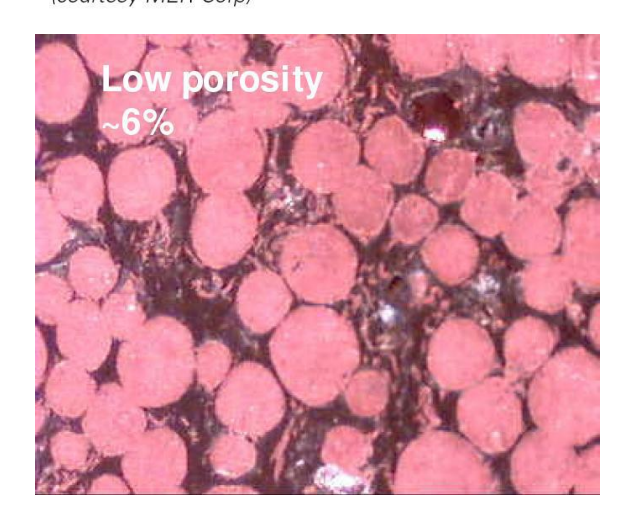
Substrats de composants de puissance dérivés du cuivre : optimisation conductivité / dilatation

Composites à base de graphite:

- Graphite-Cu ou Al par infiltration, conductivités th 200 à 400 W/mK (comme Cu),
- Mousse de carbone infiltrée par du cuivre, conductivité > 600W/mK
- Coefficient de dilatation thermique divisé par 2 par rapport au cuivre



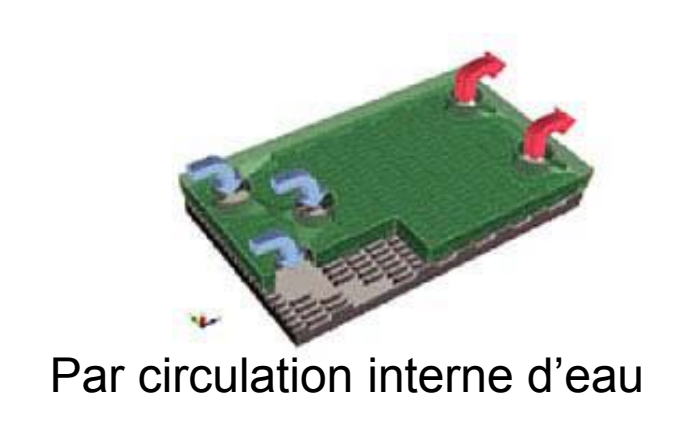
Exhibit 2.7 GraphMet 350 components (courtesy MER Corp)

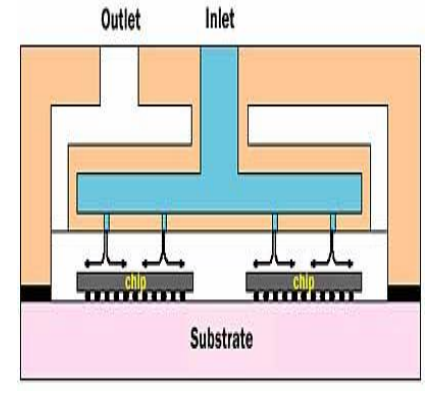




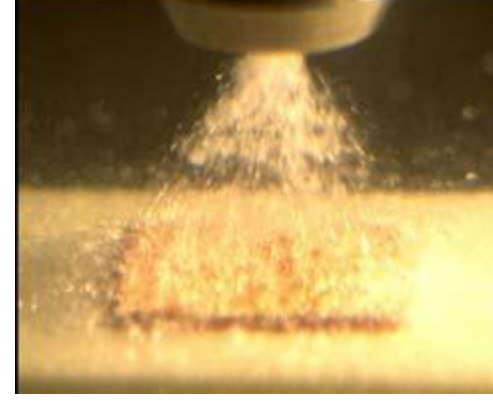
14

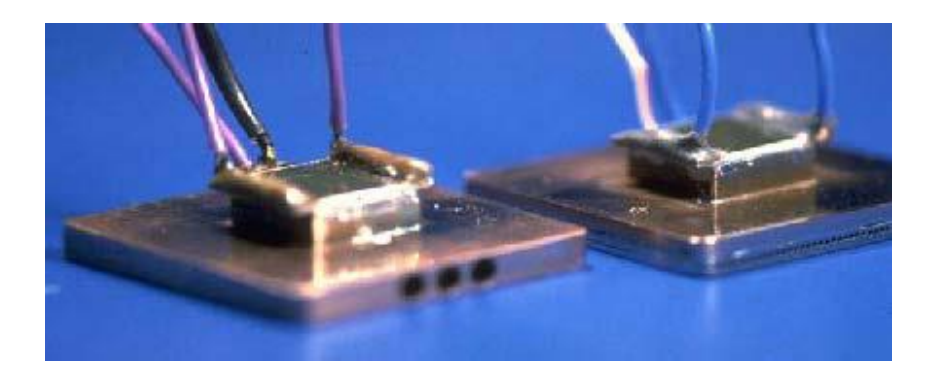
Techniques avancées de refroidissement de composants de puissance





Par pulvérisation





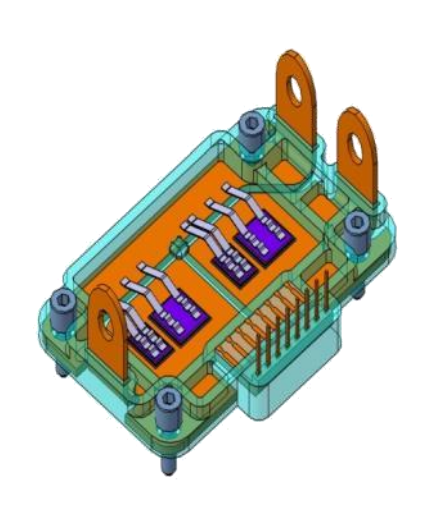
Institut Mines-Télécom

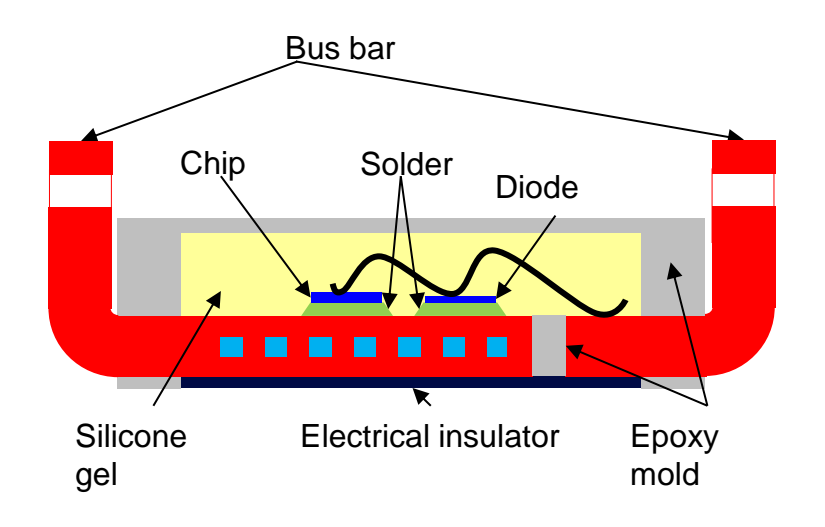


Par effet Peltier



Merci de votre attention





Merci aux docteurs: A. Kaabi, M. Tebib,

aux doctorants: H.Fekiri, S. Jules

Aux collègues: A. Köster, V. Maurel, V. Esin

Aux partenaires projet MeGaN (BPI) MOV'60









16